

---

# INF2310 – Digital bildebehandling

## FORELESNING 16

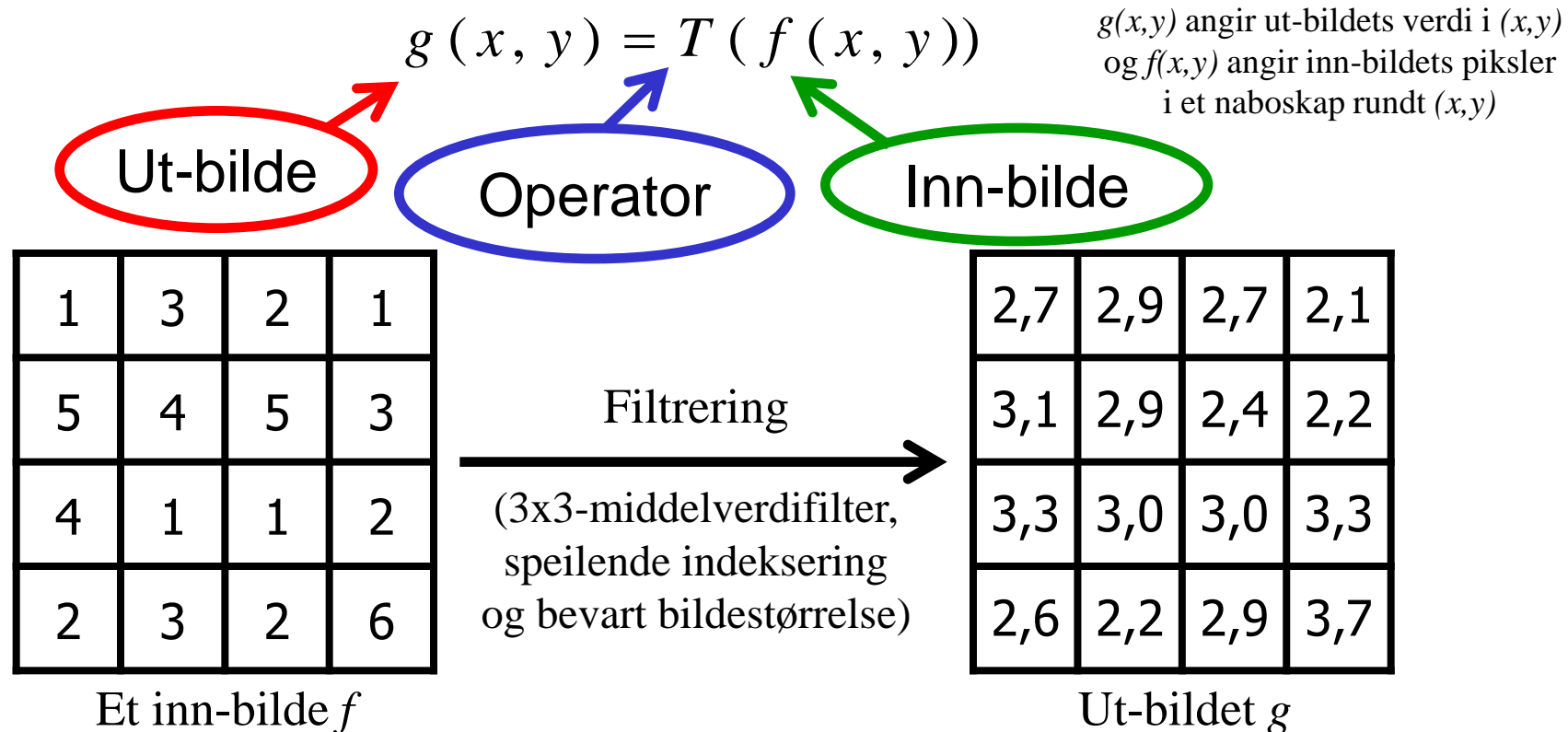
### REPETISJON – DEL I

Andreas Kleppe

Filtrering i billedomenet  
2D diskret Fourier-transform (2D DFT)  
Kompresjon og koding  
Morfologiske operasjoner på binære bilder

# Filtrering i billedomenet

- Anvendelsen av en **operator** som beregner ut-bildets verdi i hvert piksel  $(x,y)$  ved bruk av inn-bildets piksler i et **naboskap** rundt  $(x,y)$ .



# 2D-konvolusjons-eksempel

---

**Oppgave:** Konvolver følgende filter og bilde:

1/9	1/9	1/9
1/9	1/9	1/9
1/9	1/9	1/9

3x3-middelverdifilter

1	3	2	1
5	4	5	3
4	1	1	2
2	3	2	6

Inn-bilde  $f$

Anta at bildet er 0 utenfor det definerte 4x4-området.

# 2D-konvolusjons-eksempel

---

**Steg 1:** Roter filteret 180 grader.

Ikke nødvendig her ettersom filteret er symmetrisk.

$1/9$	$1/9$	$1/9$
$1/9$	$1/9$	$1/9$
$1/9$	$1/9$	$1/9$

3x3-middelverdifilteret  
er symmetrisk

# 2D-konvolusjons-eksempel

---

**Steg 2:** Legg det roterte filteret over først posisjon der filteret og bildet overlapper.

1/9	1/9	1/9			
1/9	1/9	1/9			
1/9	1/9	1•1/9	3	2	1
		5	4	5	3
		4	1	1	2
		2	3	2	6

Inn-bilde  $f$

# 2D-konvolusjons-eksempel

**Steg 3:** Multipliser filterets vektor med verdiene av de overlappende pikslene i bildet.  
Responsen er summen av produktene.

1/9	1/9	1/9				
1/9	1/9	1/9				
1/9	1/9	1•1/9	3	2	1	
			5	4	5	3
			4	1	1	2
			2	3	2	6

$$1 \cdot 1/9 = 1/9 \approx 0,1$$

0,1					

Inn-bilde  $f$

Foreløpig ut-bildet  $g$

# 2D-konvolusjons-eksempel

**Steg 4:** Gjenta 3 for neste overlapp. Ikke flere: ferdig!

**Steg 3:** Multipliser filterets vektor med verdiene av de overlappende pikslene i bildet og summer.

1/9	1/9	1/9		
1/9	1/9	1/9		
1/9	1•1/9	3•1/9	2	1
	5	4	5	3
	4	1	1	2
	2	3	2	6

$$1 \cdot 1/9 + 3 \cdot 1/9 = 4/9 \approx 0,4$$

Inn-bilde  $f$

0,1	0,4				

Foreløpig ut-bildet  $g$

# 2D-konvolusjons-eksempel

... fjorten steg 3 senere:

**Steg 3:** Multipliser filterets vektor med verdiene av de overlappende pikslene i bildet og summer.

1	$3 \cdot 1/9$	$2 \cdot 1/9$	$1 \cdot 1/9$
5	$4 \cdot 1/9$	$5 \cdot 1/9$	$3 \cdot 1/9$
4	$1 \cdot 1/9$	$1 \cdot 1/9$	$2 \cdot 1/9$
2	3	2	6

Inn-bilde  $f$

$$\begin{aligned} & 3 \cdot 1/9 + 2 \cdot 1/9 + 1 \cdot 1/9 + \\ & 4 \cdot 1/9 + 5 \cdot 1/9 + 3 \cdot 1/9 + \\ & 1 \cdot 1/9 + 1 \cdot 1/9 + 2 \cdot 1/9 \\ & = 22/9 \approx 2,4 \end{aligned}$$

0,1	0,4	0,7	0,7	0,3	0,1
0,7	1,4	2,2	2,0	1,2	0,4
1,1	2,0	2,9	<b>2,4</b>		

Foreløpig ut-bildet  $g$



# 2D-konvolusjons-eksempel

... og etter tjue steg 3 til:

**Steg 4:** Gjenta 3 for neste overlapp. Ikke flere: **ferdig!**

**Løsningen** er:

1/9	1/9	1/9
1/9	1/9	1/9
1/9	1/9	1/9

3x3-middelverdifilter

\*

1	3	2	1
5	4	5	3
4	1	1	2
2	3	2	6

Inn-bilde  $f$

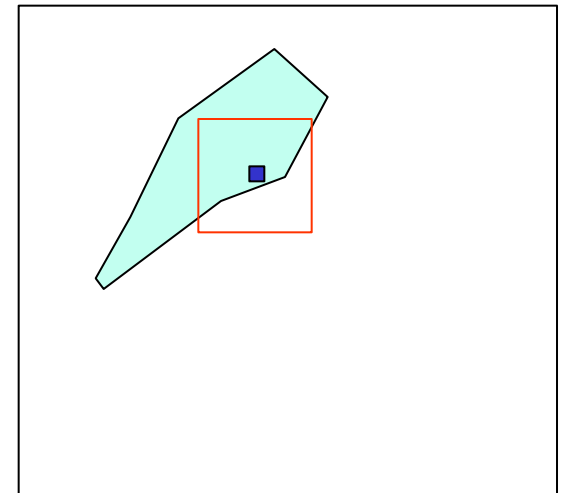
=

0,1	0,4	0,7	0,7	0,3	0,1
0,7	1,4	2,2	2,0	1,2	0,4
1,1	2,0	2,9	2,4	1,6	0,7
1,2	2,1	3,0	3,0	2,1	1,2
0,7	1,1	1,4	1,7	1,2	0,9
0,2	0,6	0,8	1,2	0,9	0,7

Ut-bildet  $g$

# Kant-bevarende støyfiltrering

- Ofte lavpassfiltrerer vi for å **fjerne støy**, men ønsker samtidig å **bevare kanter**.
- Det finnes et utall av «kantbevarende» filtre.
- Men det er et system:
  - Tenker at vi har flere piksel-populasjoner i naboskapet rundt  $(x,y)$ , f.eks. to:
  - Sub-optimalt å bruke all pikslene.
- Vi kan sortere pikslene:
  - Radiometrisk (etter pikselverdi)
  - Både geometrisk (etter pikselposisjon) og radiometrisk



# Middelverdi eller median?

---



Inn-bildet med tydelig  
salt-og-pepper-støy



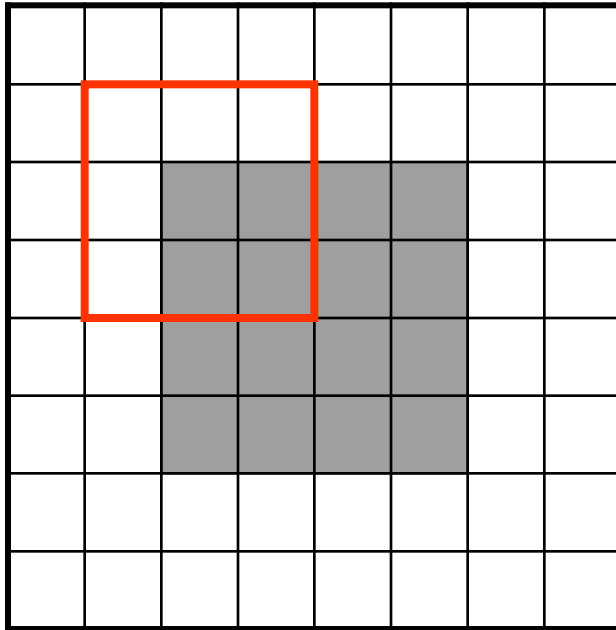
Etter  
middelverdifiltrering



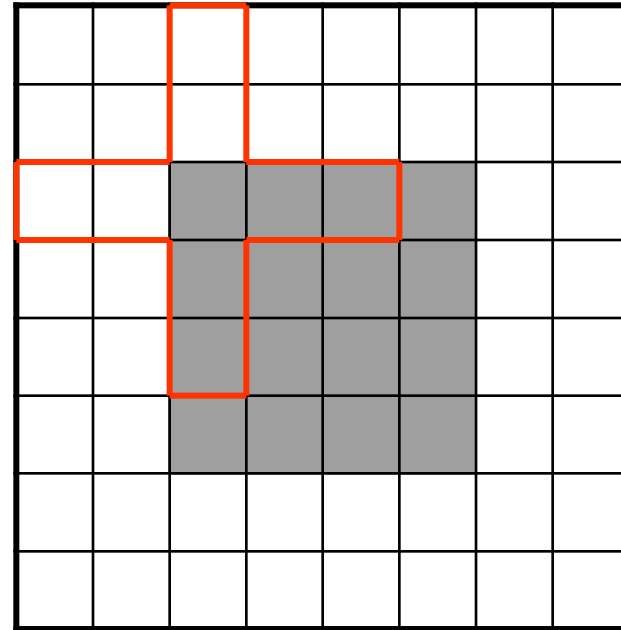
Etter  
medianfiltrering

# Medianfiltrering og hjørner

---



Med kvadratisk naboskap  
avrundes hjørnene



Med pluss-formet naboskap  
bevares hjørnene

# Kant-bevarende støyfiltrering

---

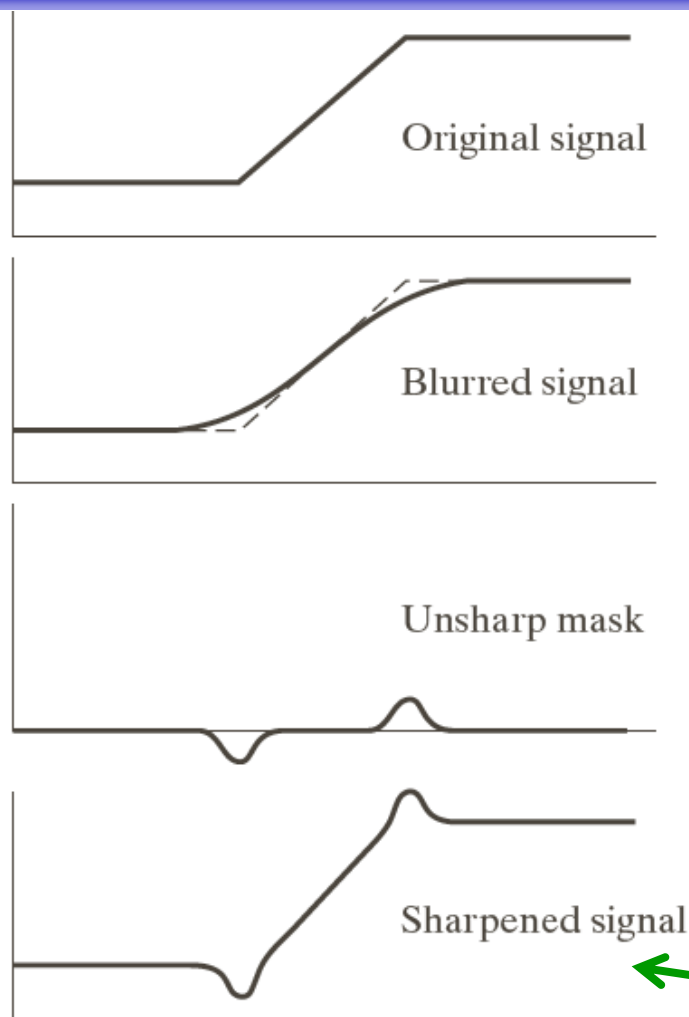
- Trimmet middelvefilter:
  - Alpha-trimmet middelvefilter (radiometrisk sortering):  
 $g(x,y)$  = middelvefilteren av de  $mn-d$  midterste verdiene (etter sortering) i  $m \times n$ -naboskapet rundt  $(x,y)$ .
  - $K$  Nearest Neighbour-filter (radiometrisk sortering):  
 $g(x,y)$  = middelvefilteren av de  $K$  pikslene i naboskapet rundt  $(x,y)$  som ligner mest på  $(x,y)$  i pikselverdi.
  - $K$  Nearest Connected Neighbour-filter (også geometrisk):  
 $K$  Nearest Neighbour-filter med uendelig stort naboskap og der de valgte pikslene er tilkoblet ut-posisjonen  $(x,y)$ .
  - Max-homogenitet-filter (også geometrisk):  
 $g(x,y)$  = middelvefilteren av det mest homogene sub-naboskapet.
  - Symmetrisk nærmeste nabo-filter (også geometrisk):  
 $g(x,y)$  = middelvefilteren av de mest lignende fra hvert symmetrisk piksel-par rundt  $(x,y)$ .
- MinimalMeanSquareError-filter: Nær middelvefilteren når lokal varians tilsvarer anslått støyvariens (en parameter), ellers nær uendret.

# Høypassfiltre

---

- Slipper gjennom høye frekvenser, og demper eller fjerner lave frekvenser.
  - Typisk fjernes den aller laveste frekvensen helt, d.v.s. at homogene områder får ut-verdi 0.
- Effekt:
  - Demper langsomme variasjoner, f.eks. bakgrunn.
  - Fremhever skarpe kanter, linjer og detaljer.
- Typiske mål: «Forbedre» skarpheten, detektere kanter.
- Q: Hva skjer med støy?

# Unsharp masking og highboost-filtrering



G&W fig. 3.39

- Gitt et bilde (original):  
(til venstre: et 1D-bilde av en rampe)

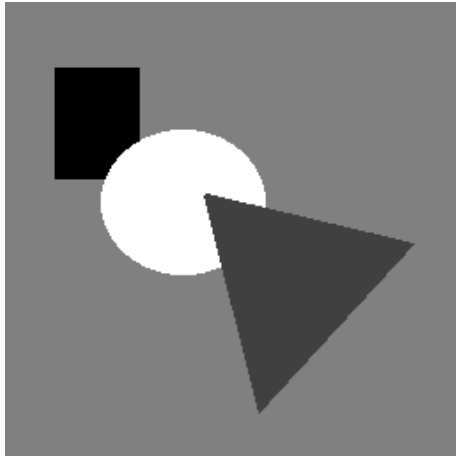
1. Lavpassfilter.  
(til høyre er originalen stiplet)

2. Beregn differansen:  
*original – filtrering*

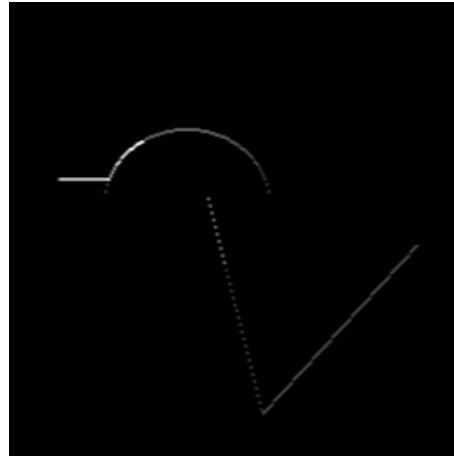
3. Resultatet er:  
*original +  $k \cdot$  differansen*

- $k$  er en positiv konstant.
- **Unsharp masking**:  $k = 1$
- **Highboost-filtrering**:  $k > 1$

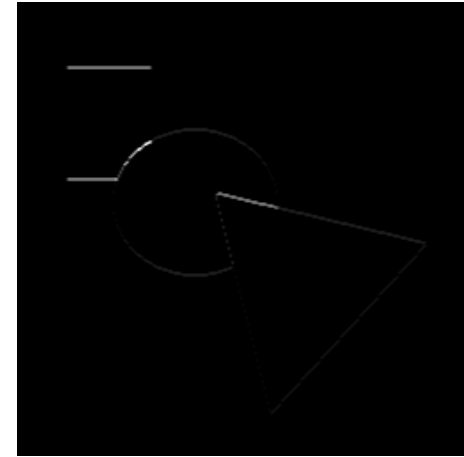
# Eksempel: Gradient-beregning med Sobel-operatoren



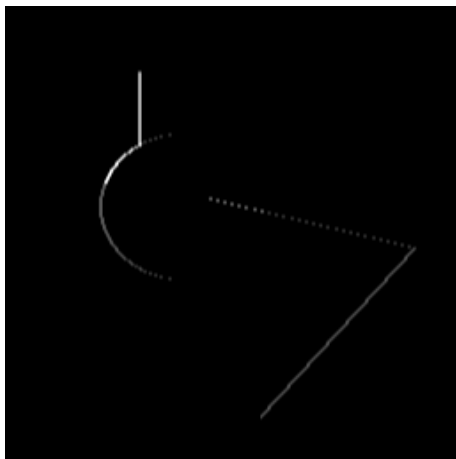
Inn-bilde  $f$



$g_x = f * h_x$



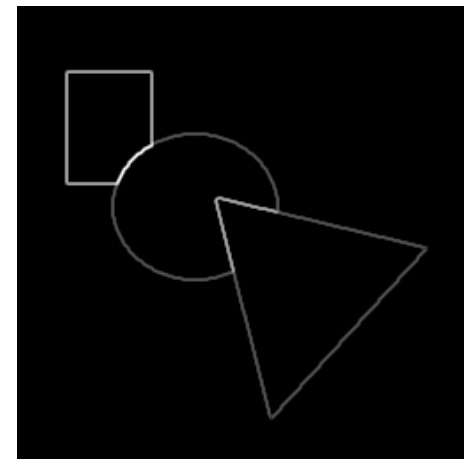
$g_x^2$



$g_y = f * h_y$



$g_y^2$



$(g_x^2 + g_y^2)^{1/2}$

Merk:  
Hvert bilde  
er skalert  
ved å dele  
på sitt  
maksimum.  
De negative  
verdiene i  
 $g_x$  og  $g_y$   
er satt til 0.



# Gradient til kant-deteksjon



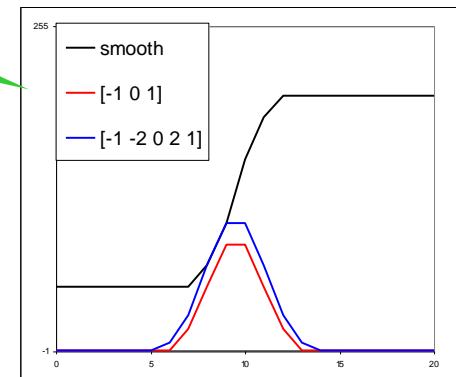
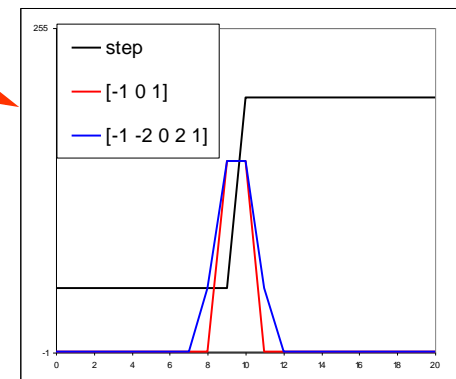
- Gradient-magnituden har «bred respons», men vi ønsker eksakt, tynn kant.

- For en steg-kant:
  - Bredden på responsen er avhengig av størrelsen på filteret.

- For en bred kant (glattet med  $[1\ 2\ 3\ 2\ 1]$ ):
  - Bredden på responsen er avhengig av bredden på kanten.

- **Maksimumet er likt og fornuftig lokalisert!**

- Bruke den andrederiverte til å finne maksimumene?

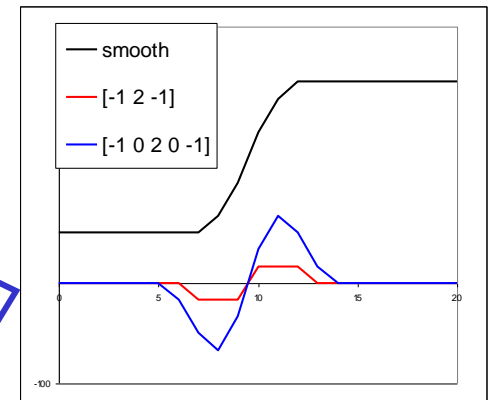


# Laplace-operatoren

- Laplace-operatoren er gitt ved:

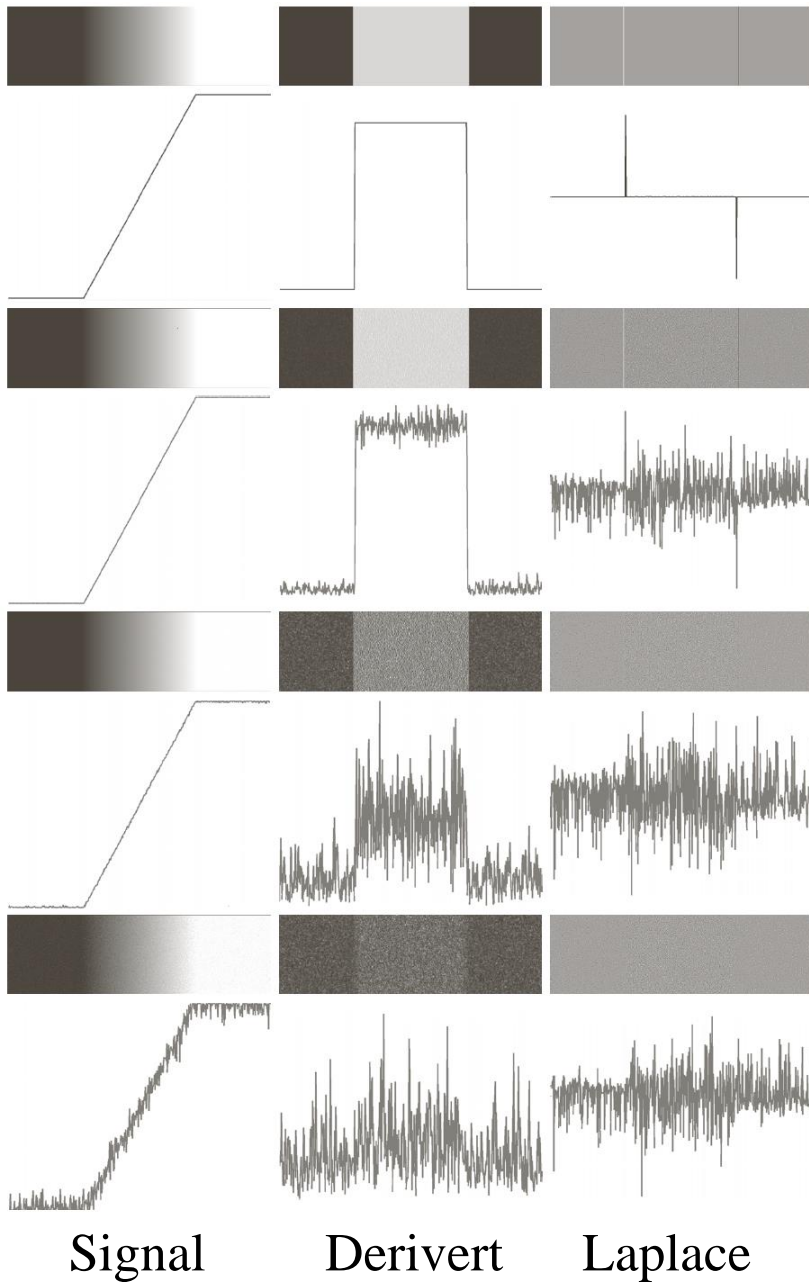
$$\nabla^2 f = \frac{\partial^2 f}{\partial x^2} + \frac{\partial^2 f}{\partial y^2}$$

- Den endrer fortegn der  $f$  et vendepunkt.
- $\nabla^2 f = 0$  markerer kant-posisjon.
- $|\nabla^2 f|$  har to ekstremverdier per kant; på starten og på slutten av kanten.
  - Derfor brukte vi den tidligere til å forbedre bildeskarpheiten!



- Kantens eksakte posisjon er nullgjennomgangen.
- Dette gir tynne kanter.
- Vi finner bare kant-posisjoner, ikke kant-retninger.

# Også lavpassfiltrere?

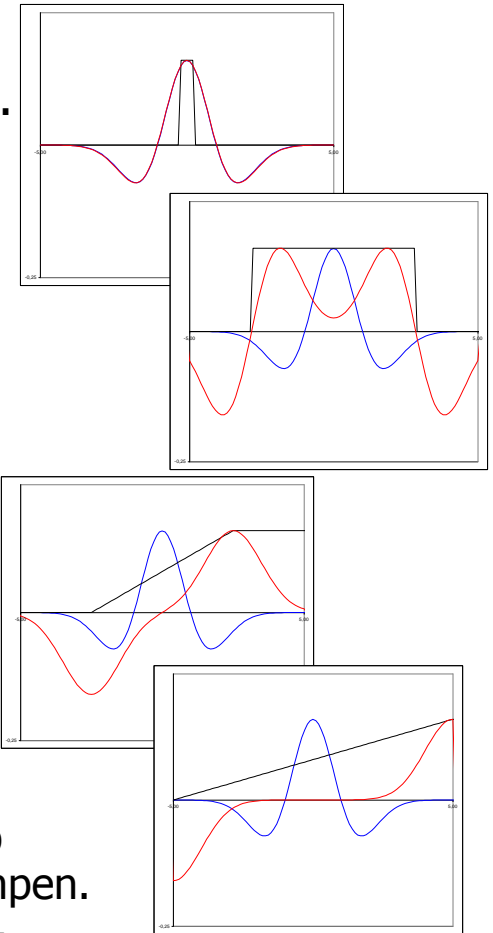


**FIGURE 10.11** First column: Images and intensity profiles of a ramp edge corrupted by random Gaussian noise of zero mean and standard deviations of 0.0, 0.1, 1.0, and 10.0 intensity levels, respectively. Second column: First-derivative images and intensity profiles. Third column: Second-derivative images and intensity profiles.

Signal Derivert Laplace

# Kantdeteksjon ved LoG-nullgjennomganger

- Tommelfingerregel for strukturer:  
**LoG-kjernen må være smalere enn strukturen.**
  - Strukturen er mindre enn halvparten av LoG-kjernen  
=> Nullgjennomgangene er utenfor kantskillene
  - Strukturen er større enn halvparten av LoG-filteret  
=> Nullgjennomgangene er nøyaktig kantskillene
  - Et sted i mellom: Avhenger av diskretiseringen og tilnærmingen av LoG-filteret.
- Tommelfingerregel for ramper:  
**LoG-filteret må være større enn rampen.**
  - Rampen er bredere enn LoG-filteret,  
=> Ingen nullgjennomgang, bare et null-platå.
  - Ellers: Nullgjennomgang midt på rampen (kan få én 0-respons akkurat på midten),  
altså en fornuftig definisjon av kantskillet til rampen.
    - P.g.a. støy krever ofte at nullpasseringen er skarp  
=> LoG-filteret må være betydelig større enn rampen.
- => **Velg kjerne- og filterstørrelsen med omhu!**
  - Angis først og fremst av standardavviket til Gauss-funksjonen, som gir bredden av LoG-kjernen og antyder størrelsen av LoG-filteret.



# Ideen til Canny

---

- Lag en kantdetektor som er optimal i forhold til følgende tre kriterier:
  - Best mulig deteksjon (alle kanter og bare kanter)
  - God kant-lokalisering
  - Én enkelt respons
- Optimer ved bruk av et bilde med støy.
- Resultat: Følgende enkle algoritme oppnår nesten optimumet:

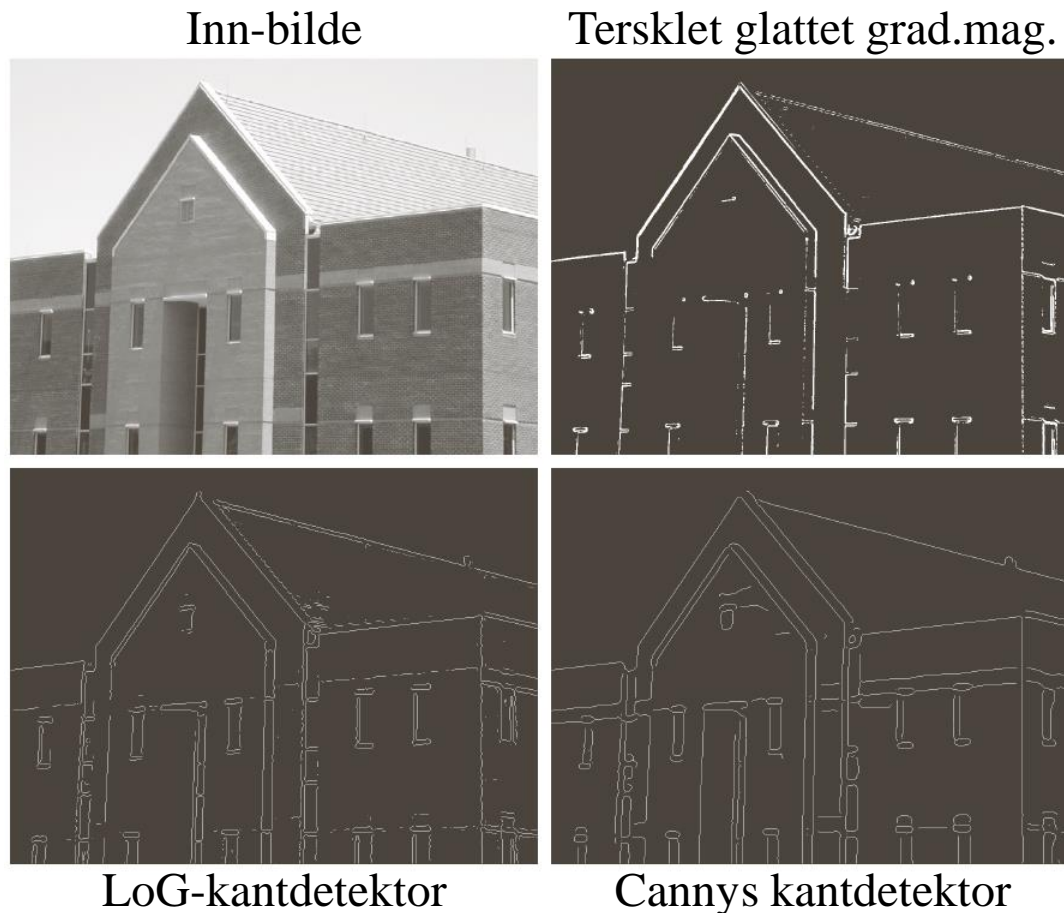
# Cannys algoritme

---

1. Lavpassfiltrer med Gauss-filter (med gitt  $\sigma$ ).
2. Finn gradient-magnituden og gradient-retningen.
3. Tynning av gradient-magnitudo ortogonalt på kant.
  - F.eks.: Hvis et piksel i gradient-magnitudo-bildet har en 8-nabo i eller mot gradient-retningen med høyere verdi, så settes pikselverdien til 0.
4. Hysterese-terskling (to terskler,  $T_h$  og  $T_l$ ) :
  - a. Merk alle piksler der  $g(x,y) \geq T_h$
  - b. For alle piksler der  $g(x,y) \in [T_l, T_h)$  :
    - Hvis (4 eller 8)-nabo til et merket piksel, så merkes dette pikselet også.
  - c. Gjenta fra trinn b til konvergens.

# Eksempel: Kantdeteksjon

- **Oppgave:** Finn fremtredende kanter.



a b  
c d

**FIGURE 10.25**

(a) Original image of size  $834 \times 1114$  pixels, with intensity values scaled to the range  $[0, 1]$ .

(b) Thresholded gradient of smoothed image.

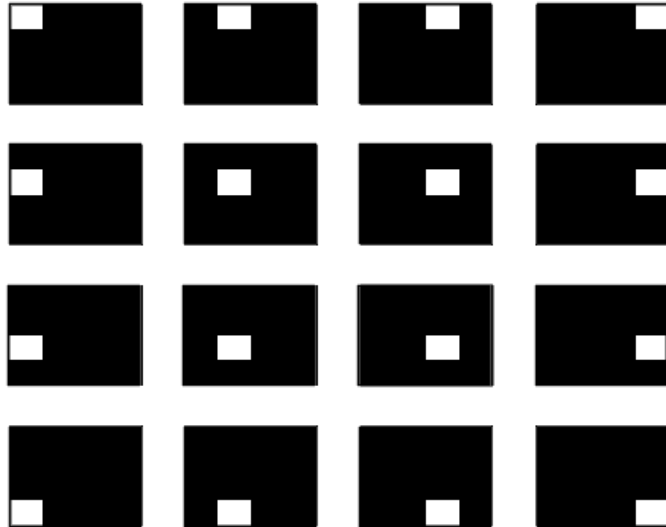
(c) Image obtained using the Marr-Hildreth algorithm.

(d) Image obtained using the Canny algorithm.

Note the significant improvement of the Canny image compared to the other two.

# Standardbasis for matriser

## Eksempel: Standardbasis for 4x4



- Et gråtonebilde representeres vanligvis som en matrise av gråtoneintensiteter.
- Dette tilsvarer å bruke den såkalte *standardbasisen* for matriser.
- Eksempel: 4x4-gråtonebilder
  - Standardbasisen er de 16 4x4-matrisene vist til venstre.
  - En vektet sum av disse matrisene kan unikt representere enhver 4x4-matrise/gråtonebilde.

## Undereksempel:

1	3	2	1
5	4	5	3
4	1	1	2
2	3	2	6

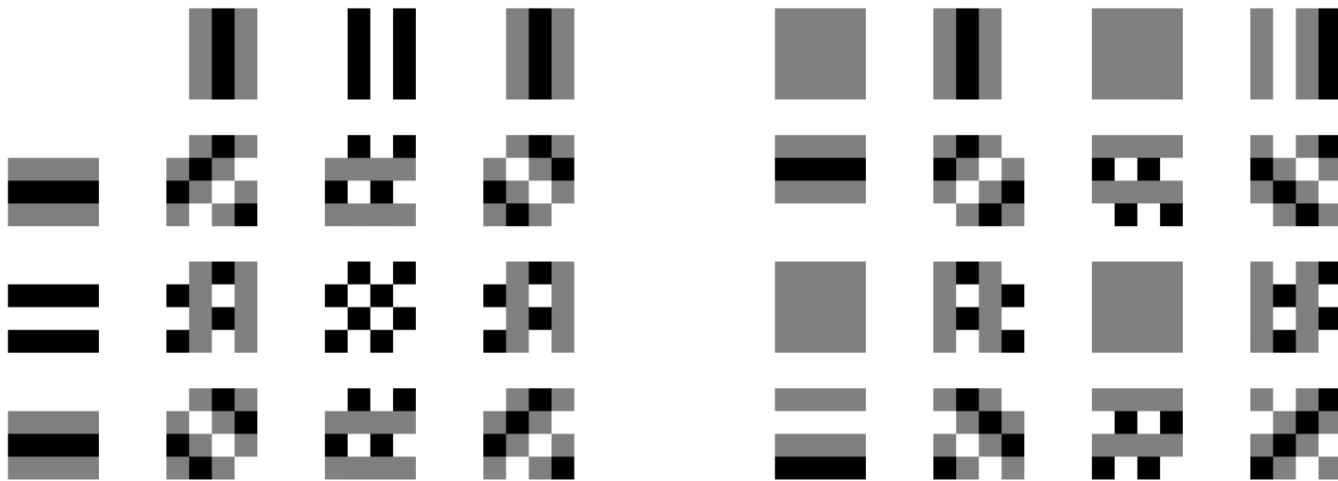
$$= 1 * \begin{matrix} \blacksquare & & & \\ & \blacksquare & & \\ & & \blacksquare & \\ & & & \blacksquare \end{matrix} + 3 * \begin{matrix} & \blacksquare & & \\ & & \blacksquare & \\ & & & \blacksquare \\ & & & & \blacksquare \end{matrix} + \dots + 6 * \begin{matrix} & & & \\ & & & \\ & & & \\ & & & \blacksquare \end{matrix}$$

I bildene er  
sort 0 og hvitt 1.



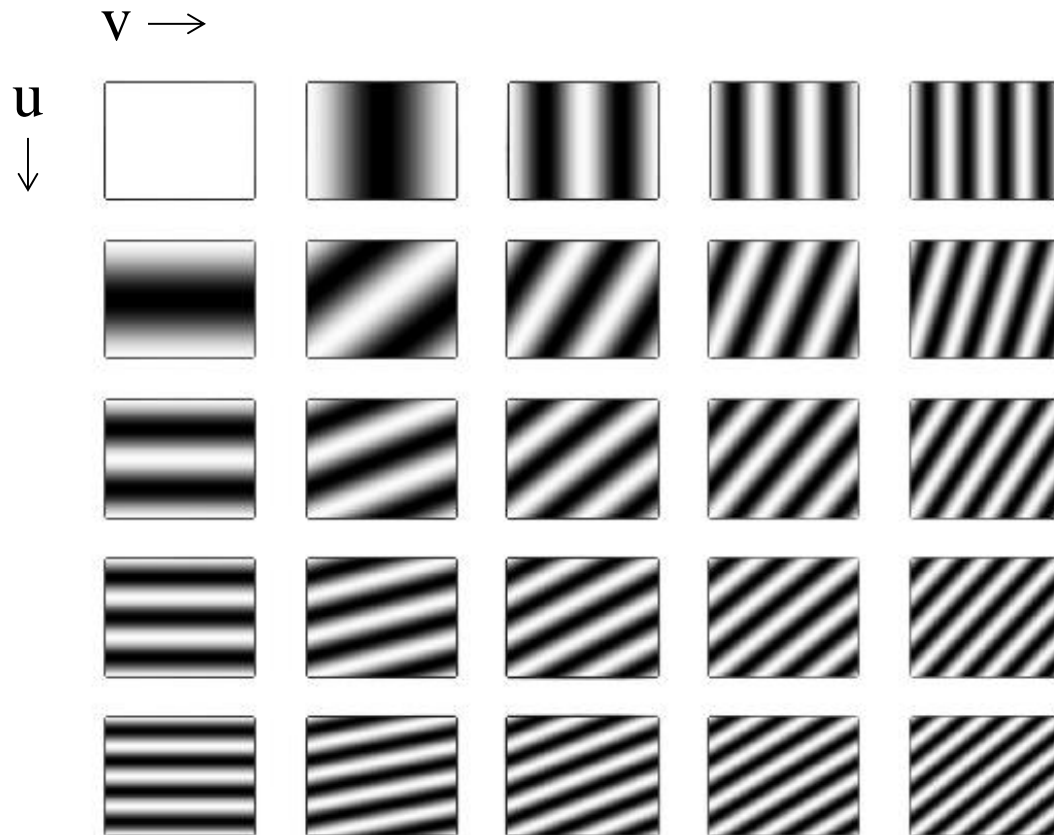
# Alternativ basis

- Det finnes mange andre basiser for matriser.
  - Muligheten til å unikt representere enhver matrise ligger i *basis*.
- **2D DFT** bruker én slik basis som er basert på **sinuser og cosinuser med forskjellige frekvenser**.
  - Disse sinusene og cosinusene er faste for en gitt bildestørrelsen ( $M \times N$ ) og kan representeres som hver sin mengde av bilder:



(i bildene er sort -1, grått er 0 og hvitt er 1)

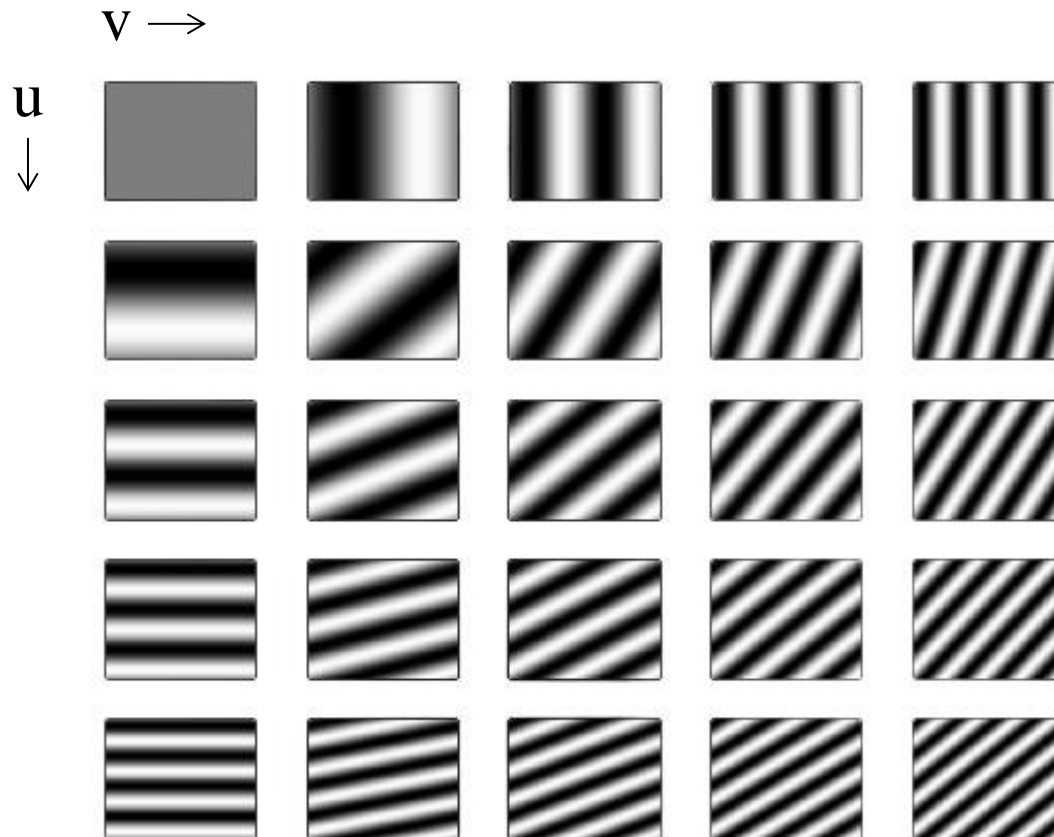
# Cosinus-bilder for større bilder



•  
•  
til  $u = M-1$

I bildene er  
sort -1 og hvitt 1.

# Sinus-bilder for større bilder



... til  $v = N-1$

•  
•  
til  $u = M-1$

I bildene er  
sort -1 og hvitt 1.

# Beregning av 2D DFT for en gitt frekvens

- Koeffisienten til 2D DFT av tidligere eksempelbilde for frekvens (0,1):

- $\text{real}(F(0,1)) = \text{sum}(\begin{array}{|c|c|c|c|} \hline 1 & 3 & 2 & 1 \\ \hline 5 & 4 & 5 & 3 \\ \hline 4 & 1 & 1 & 2 \\ \hline 2 & 3 & 2 & 6 \\ \hline \end{array} \times \begin{array}{|c|c|c|c|} \hline 1 & 0 & -1 & 0 \\ \hline 1 & 0 & -1 & 0 \\ \hline 1 & 0 & -1 & 0 \\ \hline 1 & 0 & -1 & 0 \\ \hline \end{array}) = 2$

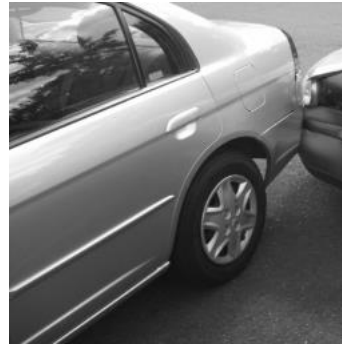
- $\text{imag}(F(0,1)) = \text{sum}(\begin{array}{|c|c|c|c|} \hline 1 & 3 & 2 & 1 \\ \hline 5 & 4 & 5 & 3 \\ \hline 4 & 1 & 1 & 2 \\ \hline 2 & 3 & 2 & 6 \\ \hline \end{array} \times \begin{array}{|c|c|c|c|} \hline 0 & -1 & 0 & 1 \\ \hline 0 & -1 & 0 & 1 \\ \hline 0 & -1 & 0 & 1 \\ \hline 0 & -1 & 0 & 1 \\ \hline \end{array}) = 1$

- Altså er  $F(0,1) = 2+j$ .

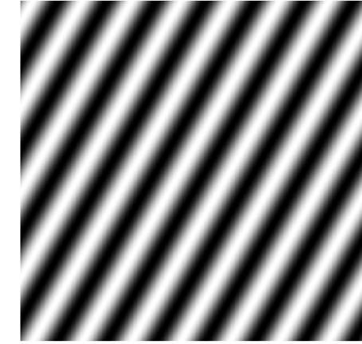
# Grunnleggende om 2D DFT

- $$\text{real}(F(u,v)) = \sum \left( \text{bilde} \times \text{cosinus-bildet for frekvens } (u,v) \right)$$

realdelen til 2D DFT-en i frekvens  $(u,v)$



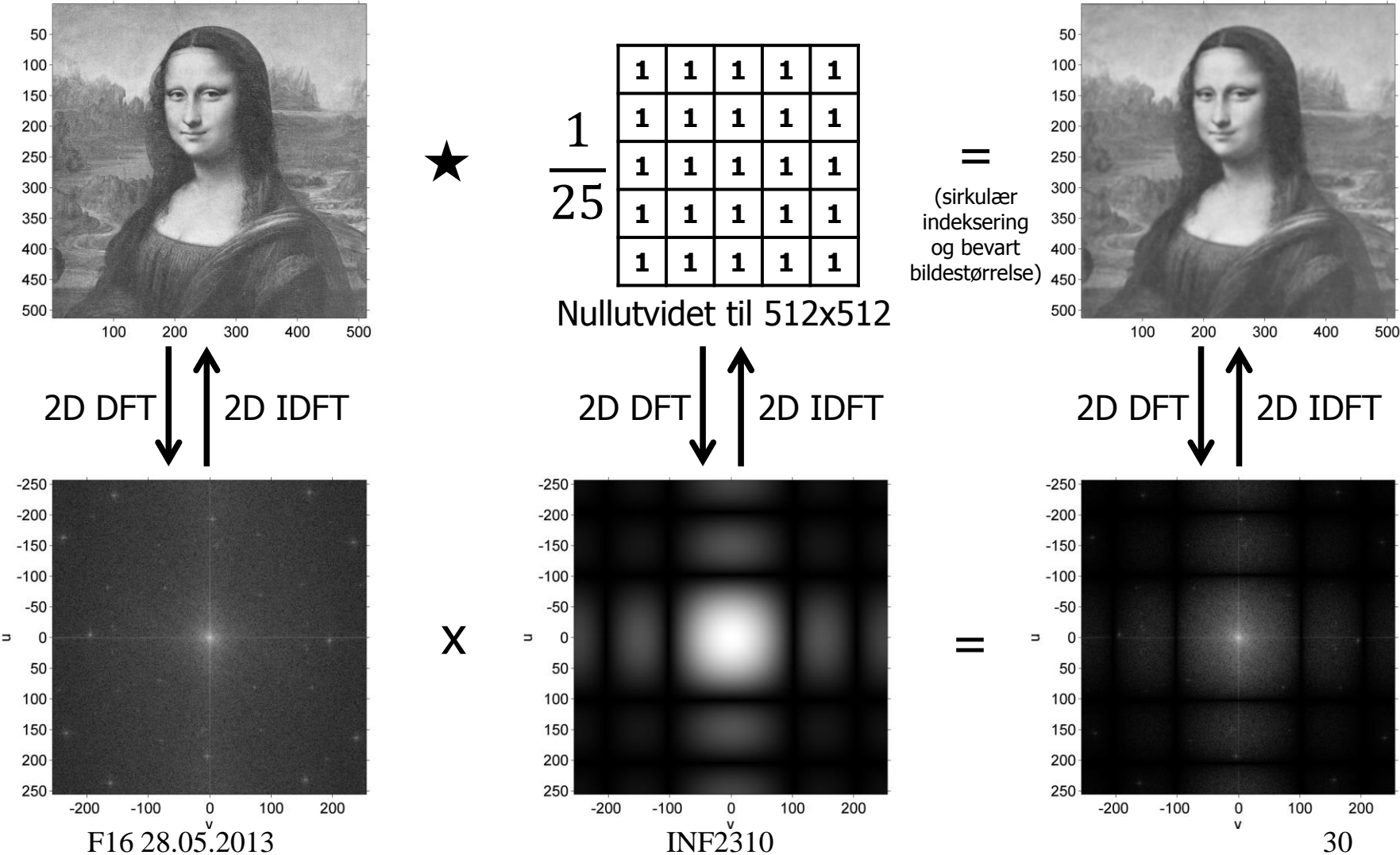
x



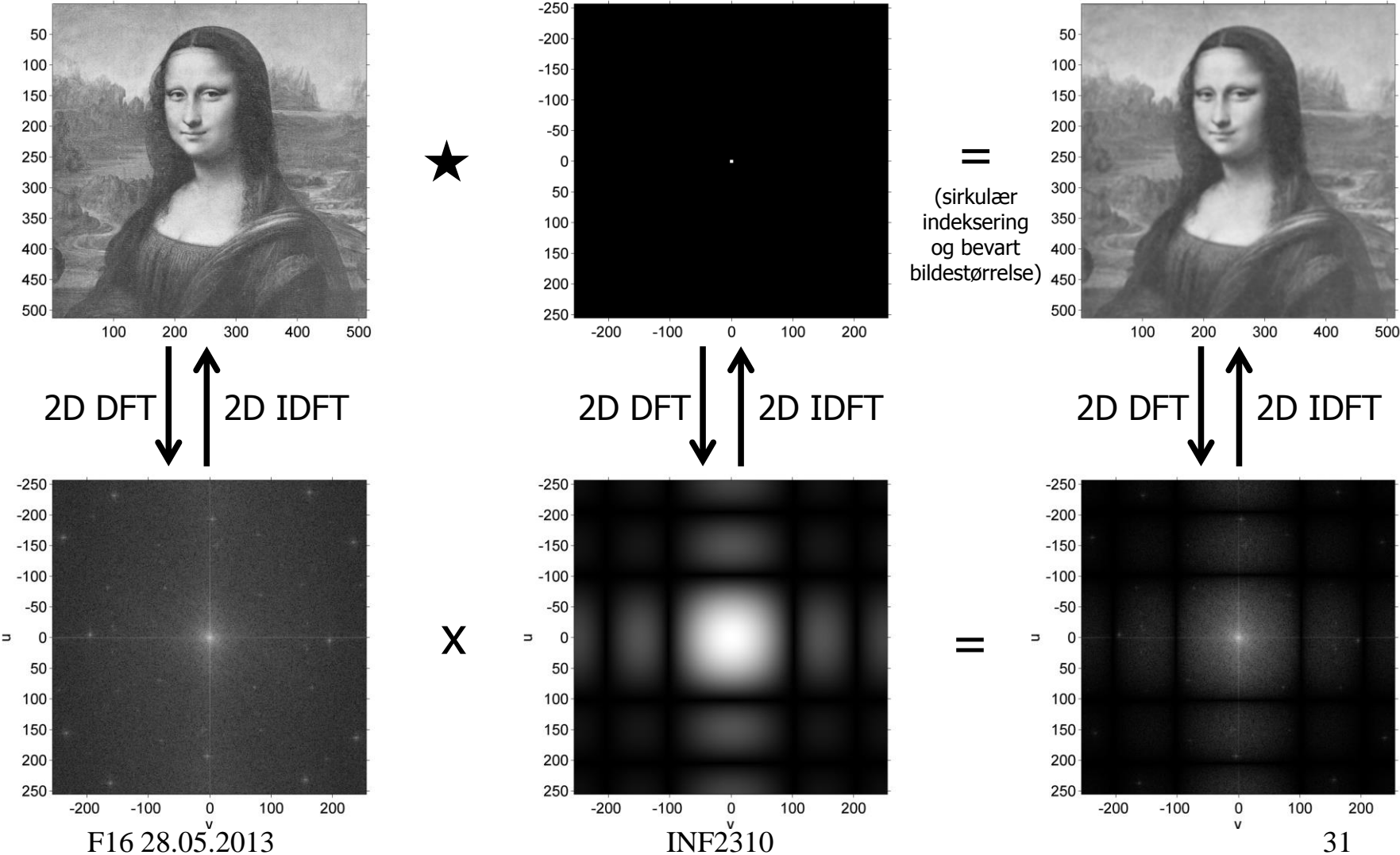
)

- Tilsvarende for imaginærdelen og sinus-bildet.
- Hvert punkt** i 2D DFT-en beskriver altså noe ved **hele bildet**.

# Eksempel: 5x5-middelverdifiltrering og konvolusjonsteoremet



# Eksempel: 5x5-middelverdifiltrering og konvolusjonsteoremet



# Anvendelse av konvolusjonsteoremet

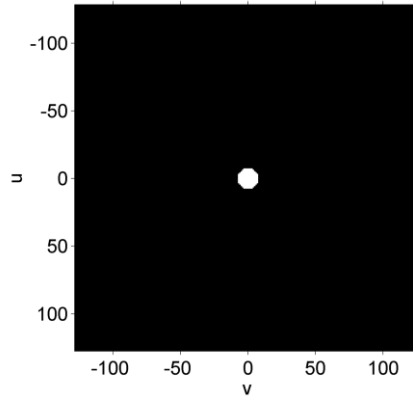
---

- Design av konvolusjonsfiltre med bestemte frekvenssegenskaper.
  - Designe konvolusjonsfilteret i Fourier-rommet slik at vi har bedre kontroll på dets frekvenssegenskaper.
- Analyse av konvolusjonsfiltre.
  - 2D DFT-en til et konvolusjonsfilter gir oss innblikk i hvordan filteret vil påvirke de forskjellige frekvenskomponentene.
- Rask implementasjon av større konvolusjonsfiltre.

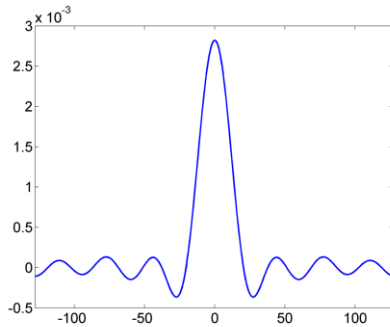
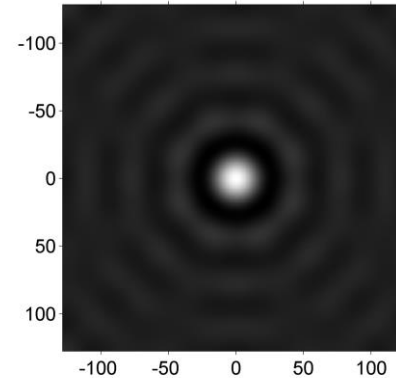


# Filter-design i Fourier-domenet

## Romlig representasjon av ideelt lavpassfilter



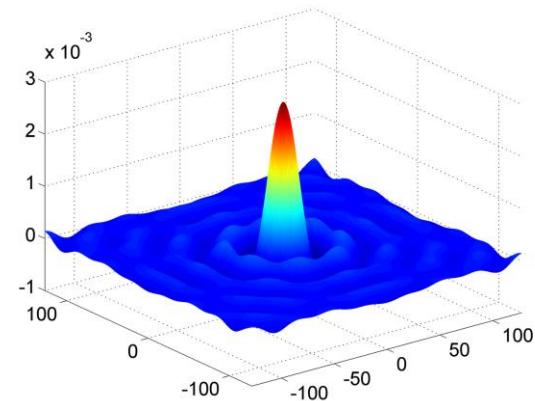
2D IDFT →



Den romlige representasjonen er en trunkert sinc-funksjon. Sinc-funksjonen er definert som:

$$\text{sinc}(x) = \frac{\sin(\pi x)}{\pi x}$$

og  $\text{sinc}(0) = 1$ .



- Vi får *ringing* i bildet.
  - Husk også tommelfingerregel fra forrige forelesning:  
Smal/bred struktur i bildet  $\leftrightarrow$  Bred/smål struktur i Fourier-spekteret

# Eksempel: Ideelt lavpassfilter

---



Original



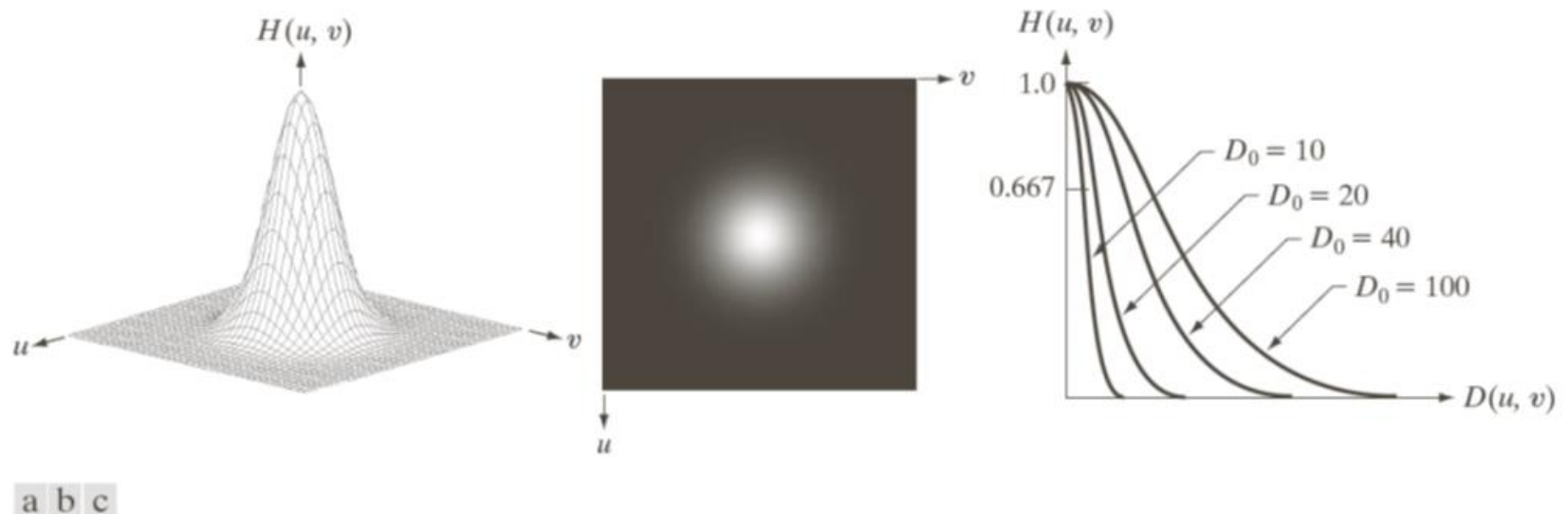
Filtrert med  $D_0=0.2\min\{M,N\}/2$



Filtrert med  $D_0=0.3\min\{M,N\}/2$

I god nok oppløsning kan striper/ringinger sees ut fra markante kanter i de to filtrerte bildene. Det er dette vi kaller *ringing*.

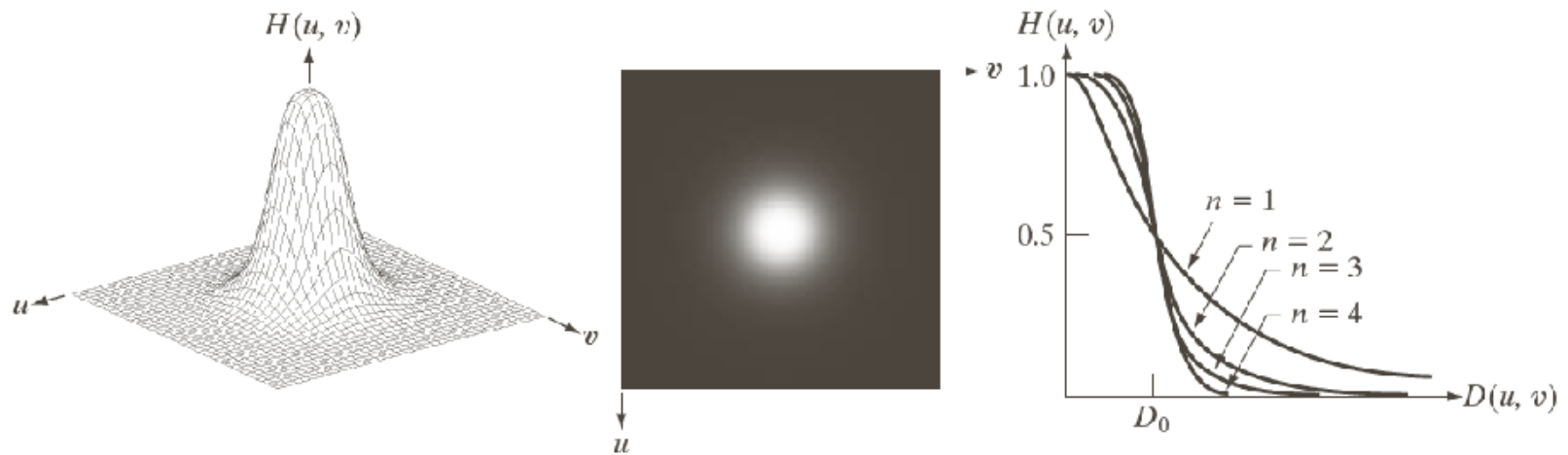
# Gaussisk lavpassfilter



**FIGURE 4.47** (a) Perspective plot of a GLPF transfer function. (b) Filter displayed as an image. (c) Filter radial cross sections for various values of  $D_0$ .

Husk tommelfingerregelen:  
Smal/bred struktur i bildet  $\Leftrightarrow$  Bred/smal struktur i Fourier-spekteret

# Butterworth lowpassfilter



a b c

**FIGURE 4.44** (a) Perspective plot of a Butterworth lowpass-filter transfer function. (b) Filter displayed as an image. (c) Filter radial cross sections of orders 1 through 4.

# Eksempel: Butterworth lavpassfilter

---



n=11



n=41



n=61

$D_0 = 0.2\min\{M,N\}/2$  i alle filtreringene.

# Analyse av filtre

## $h_y$ i Prewitt-operatoren (en gradientoperator)

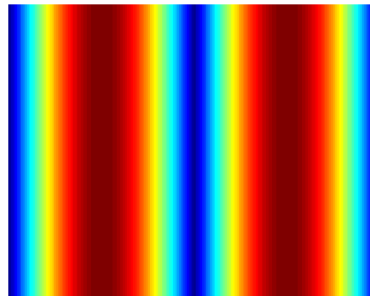
1	0	-1
---	---	----



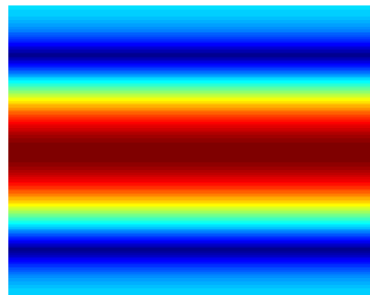
1
1
1

=

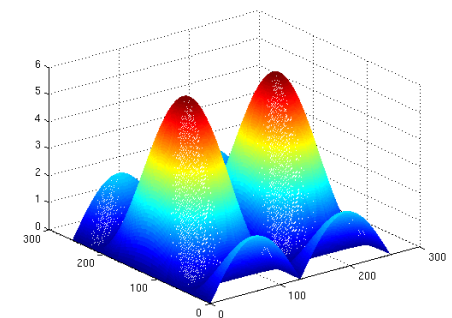
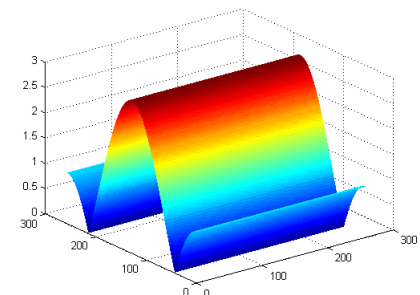
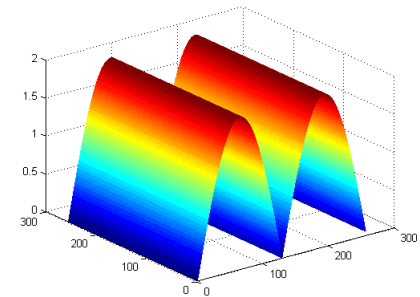
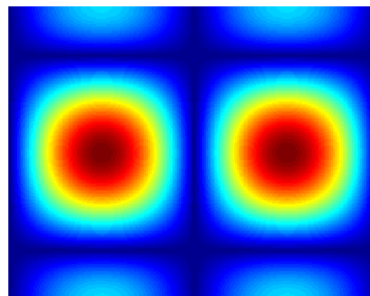
1	0	-1
1	0	-1
1	0	-1



X

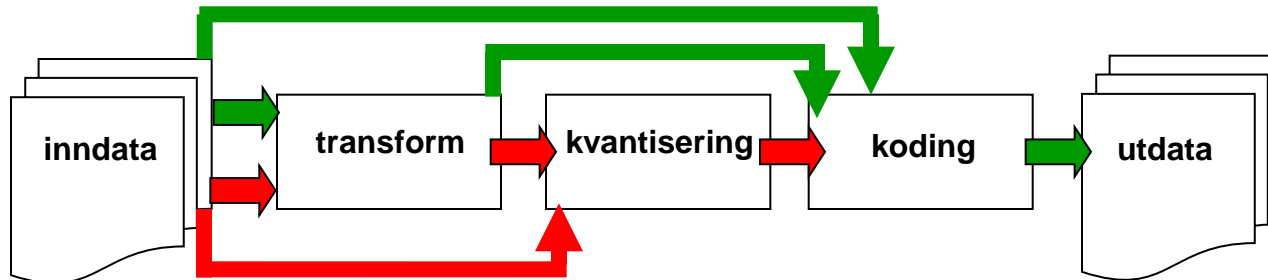


=



# Kompresjon


- Kompresjon kan deles inn i tre steg:
  - **Transform** - representerer bildet mer kompakt.
  - **Kvantisering** - avrunding av representasjonen.
  - **Koding** - produksjon og bruk av kodebok.



- Kompresjon kan gjøres:
  - **Eksakt / tapsfri** (eng.: *lossless*) – følg de grønne pilene.
    - Her kan vi rekonstruere den originale bildet eksakt.
  - **Ikke-tapsfri** (eng.: *lossy*) – følg de røde pilene.
    - Her kan vi ikke rekonstruere bildet eksakt.
    - Resultatet kan likevel være «godt nok».
  - Det finnes en mengde ulike metoder for begge kategorier.

# Ulike typer redundans

---

- **Psykovisuell** redundans.  Mer generelt: **Irrelevant informasjon**: Unødvendig informasjon for anvendelsen, f.eks. for visuell betraktning av hele bildet.
  - Det finnes informasjon vi ikke kan se.
    - Enkle muligheter for å redusere redundansen:  
Subsample eller redusere antall biter per piksel.
- **Interbilde**-redundans.
  - Likhet mellom nabobilder i en tidssekvens.
    - Kode noen bilder i tidssekvensen og ellers bare differanser.
- **Intersampel**-redundans.
  - Likhet mellom nabopiksler.
    - Hver linje i bildet kan løpelengde-transformeres.
- **Kodings**-redundans.
  - Gjennomsnittlig kodelengde minus et teoretisk minimum.
    - Velg en metode som er "grei" å bruke og gir liten kodingsredundans.



# Kompresjonsrate og redundans

---

- **Kompresjonsraten:**

$$CR = \frac{i}{c}$$

der  $i$  er antall bit per sampel originalt,  
og  $c$  er antall bit per sampel i det komprimerte bildet.

- **Relativ redundans:**

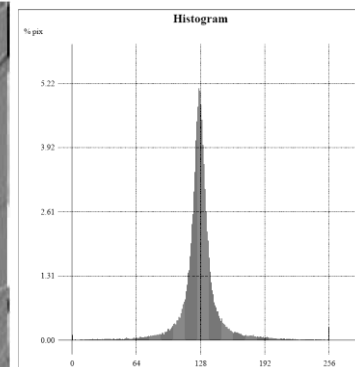
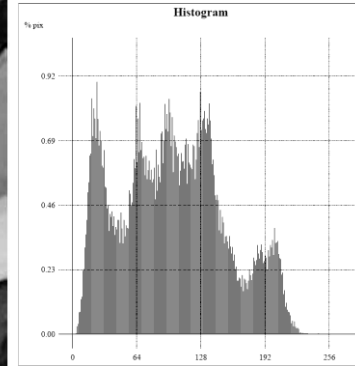
$$R = 1 - \frac{1}{CR} = 1 - \frac{c}{i}$$

- **«Percentage removed»:**

$$PR = 100 \left( 1 - \frac{c}{i} \right) \%$$

# Differansetransform

- Gitt en rad i bildet med gråtoner:  
 $f_1, \dots, f_N$  der  $0 \leq f_i \leq 2^b - 1$
- Transformer (reversibelt) til  
 $g_1 = f_1, g_2 = f_2 - f_1, \dots, g_N = f_N - f_{N-1}$
- Merk at:  $-(2^b - 1) \leq g_i \leq 2^b - 1$
- Trenger derfor  $b+1$  biter per  $g_i$  hvis vi skal tilordne like lange kodeord til alle mulig verdier.
- I differansehistogrammet vil de fleste verdiene samle seg rundt 0.
- Naturlig binærkoding av differansene er ikke optimal.



# Løpelengde-transform

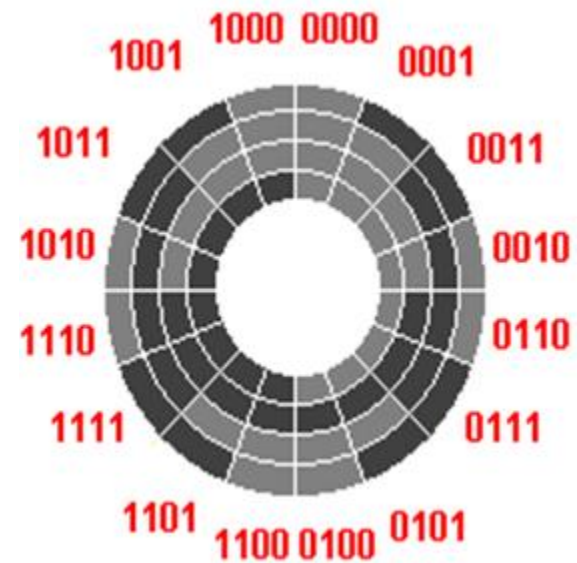
---

- Ofte inneholder bildet objekter med lignende gråtoner, f.eks. svarte bokstaver på hvit bakgrunn.
- Løpelengde-transformen (eng.: *run-length transform*) prøver å utnytte at **nabopiksler på samme rad ofte er like**.
  - Kompresjonen blir dårlig hvis dette ikke er tilfelle i det aktuelle bildet.
  - Løpelengde-transformen blir mer effektiv ettersom kompleksiteten i bildet blir mindre.
- Løpelengde-transformen er reversibel.
- Hvis pikselverdiene til en rad er:  
33333355555555544777777 (24 tall)
- Så starter løpelengde-transformen fra venstre og finner tallet 3 gjentatt 6 ganger etter hverandre, og returnerer derfor tallparet (3,6). **Formatet er: (tall, løpelengde)**
- For hele sekvensen vil løpelengdetransformen gi de 4 tallparene:  
(3,6), (5,10), (4,2), (7,6) (merk at dette bare er 8 tall)
- Kodingen avgjør hvor mange biter vi bruker for å lagre tallene.

# Eksempel: Gray-koding

4-biters Gray- og naturlig binærkode:

Gray-kode	Naturlig binærk.	Desimal-tall
0000g	0000b	0d
0001	0001	1
0011	0010	2
0010	0011	3
0110	0100	4
0111	0101	5
0101	0110	6
0100	0111	7
1100	1000	8
1101	1001	9
1111	1010	10
1110	1011	11
1010	1100	12
1011	1101	13
1001	1110	14
1000	1111	15



«Gray code shaft encoder»  
Brukes for sikker avlesing av vinkel,  
f.eks. i styring av robot-armar.

Koden patentert av Gray i 1953, men ble  
brukt i Emilie Baudot's telegrafkode fra 1870.

# Entropi

- Tar vi gjennomsnittet over alle symbolene  $s_i$  i alfabetet, får vi gjennomsnittlig informasjon per symbol.

$$H = \sum_{i=0}^{2^b - 1} p(s_i) I(s_i) = - \sum_{i=0}^{2^b - 1} p(s_i) \log_2(p(s_i))$$

- H er entropien til sekvensen av symbolene.
- **Entropien setter en nedre grense for hvor kompakt sekvensen kan representeres.**
  - Gjelder bare hvis vi koder hvert symbol for seg.

# Huffman-koding

---

- Huffman-koding er en algoritme for variabel-lengde koding som er **optimal** under begrensningen at vi **koder symbol for symbol**.
  - Med *optimal* menes her minst mulig kodings-redundans.
- Antar at vi kjenner hyppigheten for hvert symbol.
  - Enten spesifisert som en modell.
    - Huffman-koden er da optimal hvis modellen stemmer.
  - Eller så kan vi bruke symbol-histogrammet til sekvensen.
    - Huffman-koden er da optimal for sekvensen.
    - Ofte bruker vi sannsynlighetene i stedet, men vi kunne likegodt benyttet hyppighetene.

# Eksempel: Huffman-koding

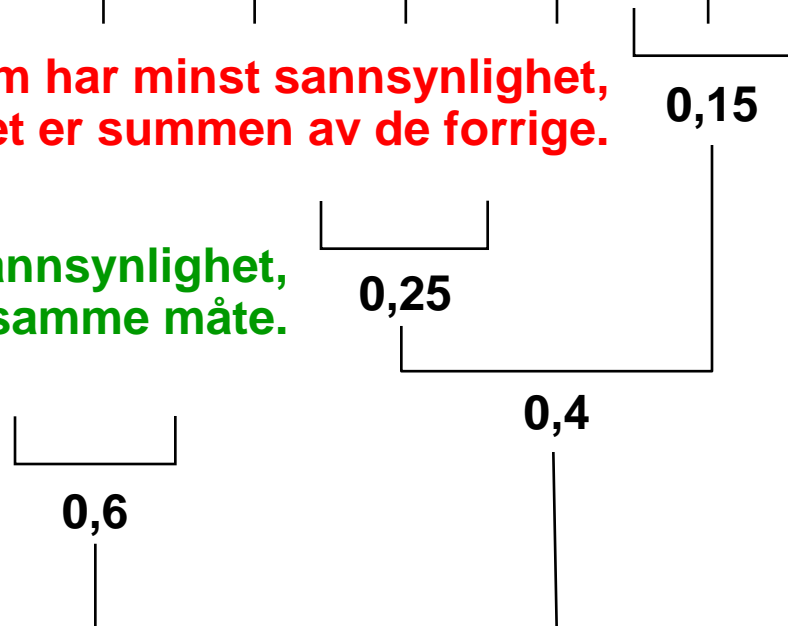
- La oss finne Huffman-koden til modellen som består av følgende seks begivenheter med sannsynligheter:

Begivenhet	A	B	C	D	E	F
Sannsynlighet	0,3	0,3	0,13	0,12	0,1	0,05

**Slå sammen de to gruppene som har minst sannsynlighet, Den nye gruppens sannsynlighet er summen av de forrige.**

**Finn de to som nå har minst sannsynlighet, og slå dem sammen på samme måte.**

**Fortsett til det er bare to igjen.**

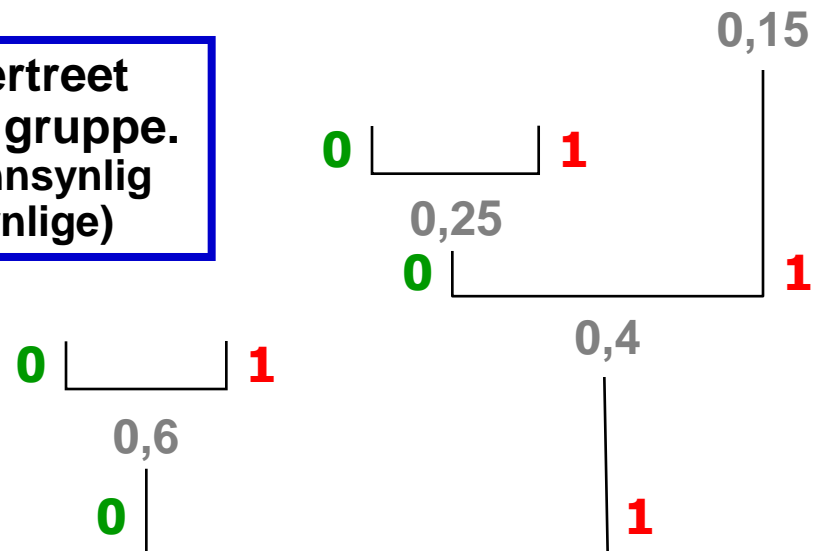


# Eksempel: Huffman-koding

- La oss finne Huffman-koden til modellen som består av følgende seks begivenheter med sannsynligheter:

Begivenhet	A	B	C	D	E	F
Sannsynlighet	0,3	0,3	0,13	0,12	0,1	0,05

**Gå baklengs gjennom binærtreet og tilordne 0 eller 1 til hver gruppe. (F. eks. kode 0 til den mest sannsynlig og kode 1 til den minst sannsynlige)**





# Eksempel: LZW-koding

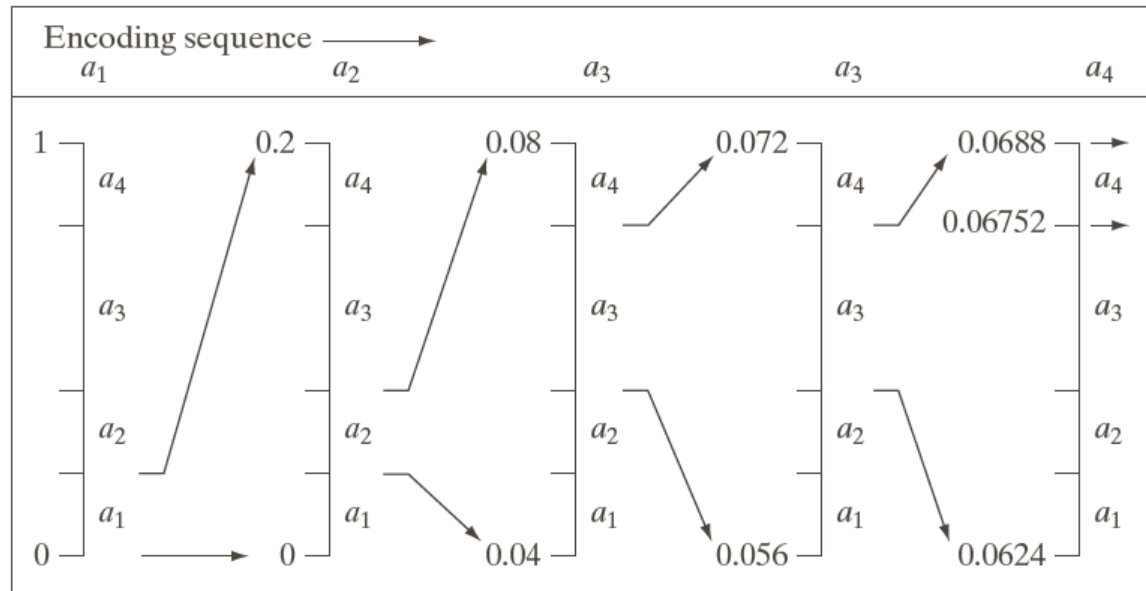
- Alfabetet: a, b og c med koder 0, 1 og 2, henholdsvis.
- Meldingen: ababcbababaaaaabab (18 symboler)
- LZW-sender: ny streng = **sendt streng** **pluss**  **neste usendte symbol**
- LZW-mottaker: ny streng =  **nest siste streng** **pluss**  **første symbol i sist tilsendte streng**

Ser	Sender	Senders liste	Mottar	Tolker	Mottakers liste
		a=0, b=1, c=2			a=0, b=1, c=2
a	0	ab=3	0	a	
b	1	ba=4	1	b	ab=3
ab	3	abc=5	3	ab	ba=4
c	2	cb=6	2	c	abc=5
ba	4	bab=7	4	ba	cb=6
bab	7	baba=8	7		

- » Vi mottar kode 7, men denne koden finnes ikke i listen!
- » Fra ny-streng-oppskriften vet vi at kode 7 ble laget ved: ba + ?
- » Siden kode 7 nå sendes, må: ? = b => 7 = ba + b = bab

# Eksempel: Aritmetisk koding

- Sannsynlighetsmodell:  $P(a_1)=P(a_2)=P(a_4)=0,2$  og  $P(a_3)=0,4$
- Melding/symbolsekvens:  $a_1a_2a_3a_3a_4$



- $a_1$  ligger i intervallet  $[0, 0,2)$
- $a_1a_2$  ligger i intervallet  $[0,04, 0,08)$
- $a_1a_2a_3$  ligger i intervallet  $[0,056, 0,072)$
- $a_1a_2a_3a_3$  ligger i intervallet  $[0,0624, 0,0688)$
- $a_1a_2a_3a_3a_4$  ligger i intervallet  $[0,06752, 0,0688)$

# Eksempel: Representasjon av intervall

- Finn kortest mulig  $N = 0, c_1 c_2 c_3 \dots_2$  innenfor intervallet  $[0,6, 0,7)$ .

- Hvis  $n \geq k$  så er:

$$2^{-k+1} = 2^{-(k-1)} > c_k 2^{-k} + \dots + c_n 2^{-n}$$

siden  $c_i$  er 0 eller 1.

- Derfor er:

$$N = 0, \mathbf{1} \dots_2 \quad \Rightarrow \quad 0,5 \leq N < 1$$

$$N = 0, \mathbf{10} \dots_2 \quad \Rightarrow \quad 0,5 \leq N < 0,75$$

$$N = 0, \mathbf{100} \dots_2 \quad \Rightarrow \quad 0,5 \leq N < 0,625$$

$$N = 0, \mathbf{101} \dots_2 \quad \Rightarrow \quad 0,625 \leq N < 0,75$$

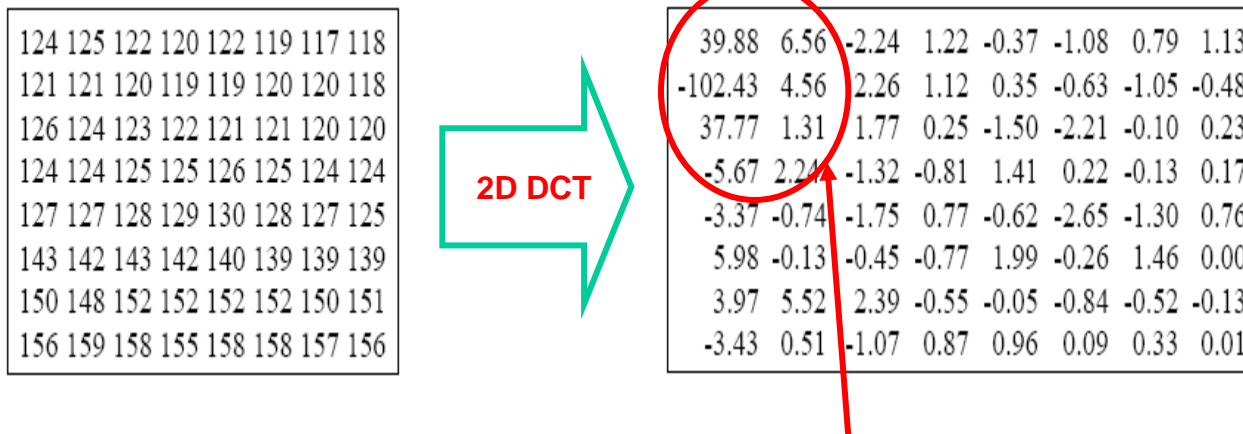
- $\Rightarrow$  Intervall kan kodes ved det binære kommatallet  $0, \mathbf{101}_2$  (ekvivalent med  $0,625_{10}$ ), altså med bare 3 biter.

- Hvis vi vil kreve at øvre og nedre grense er innenfor intervallet; intervallet kan kodes ved  $0,1010_2$  fordi:

$$N = 0, \mathbf{1010} \dots_2 \Rightarrow 0,625 \leq N < 0,6875$$

# Ikke-tapsfri JPEG-kompresjon

1. Hver bildekanal deles opp i blokker på 8x8 piksler, og hver blokk i hver kanal kodes separat.
2. Dersom intensitetene er gitt uten fortegn; trekk fra  $2^{b-1}$  der  $2^b$  er antall intensitetsverdier.
  - Gjør at forventet gjennomsnittlig pikselverdi er omtrent 0.
  - Eks.: Intensitetsintervallet  $[0, 255]$ ; 128 trekkes fra alle pikselverdiene.
3. Hver blokk transformeres med 2D DCT (diskret cosinus-transform).



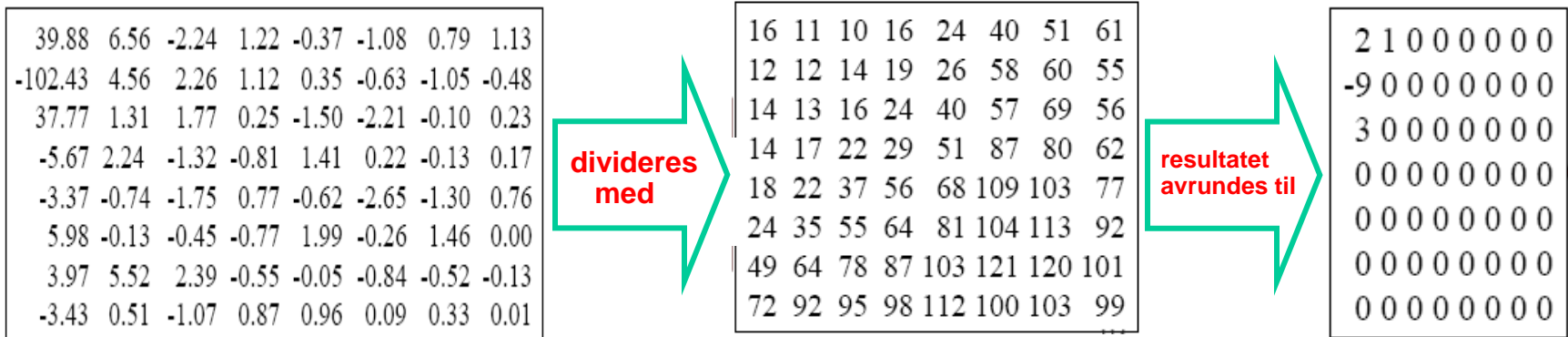
- Mye av informasjonen i de 64 pikslene samles i en liten del av de 64 2D DCT-koeffisientene; nemlig de i øverste, venstre hjørne.

# Ikke-tapsfri JPEG-kompresjon

JPEG-kompresjonsalgoritmen fortsetter med at:

4. 2D DCT-koeffisientene:

- a) punktdivideres med en vektmatrise og deretter
- b) kvantiseres til heltall.





# Ikke-tapsfri JPEG-kompresjon

---

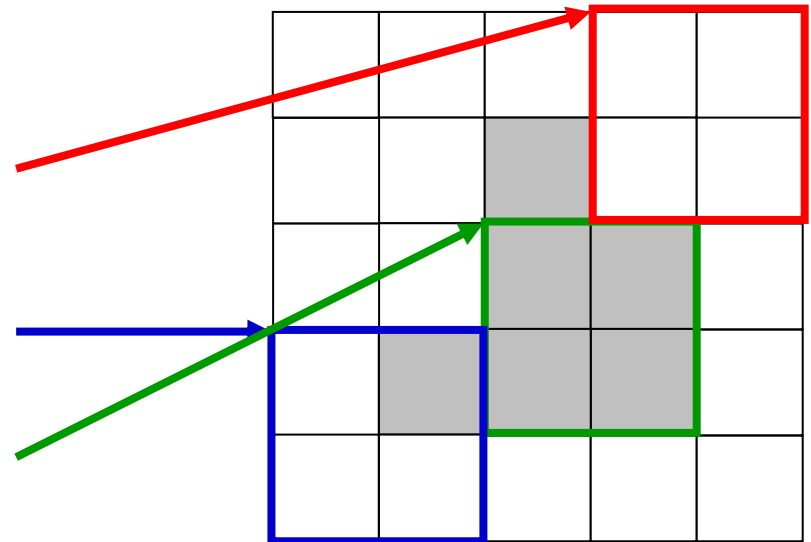
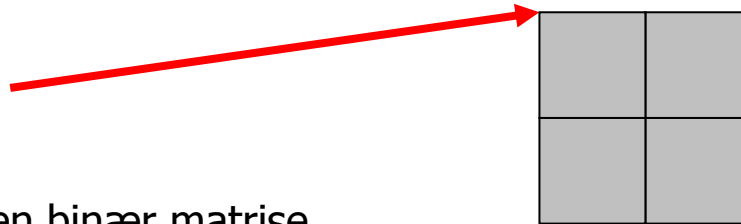
DC- og AC-elementene  
behandles nå separat.

DC-elementene:

- For hver kanal samles DC-elementene fra alle blokkene.
- Disse er korrelerte og blir derfor differansetransformert.
- Differansene Huffman-kodes eller aritmetisk kodes.

# Tre sentrale begrep

- Et **strukturelement** for et binært bilde er et **naboskap**.
  - Typisk definert ved en binær matrise der 1 markerer med i naboskapet.
- Når vi fører strukturelementet over det binære bildet vil vi finne:
  - Posisjoner der strukturelementet **ikke overlapper** objektet.
  - Posisjoner der strukturelementet delvis overlapper objektet, vi sier at elementet **treffer** objektet.
  - Posisjoner der strukturelementet ligger inni objektet, vi sier at elementet **passer** i objektet.



I figurene markerer grått med i mengden (forgrunns piksel), og hvitt ikke med.



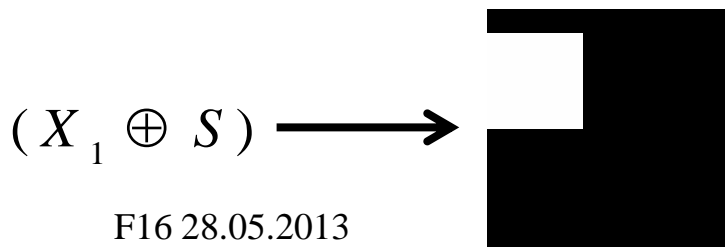
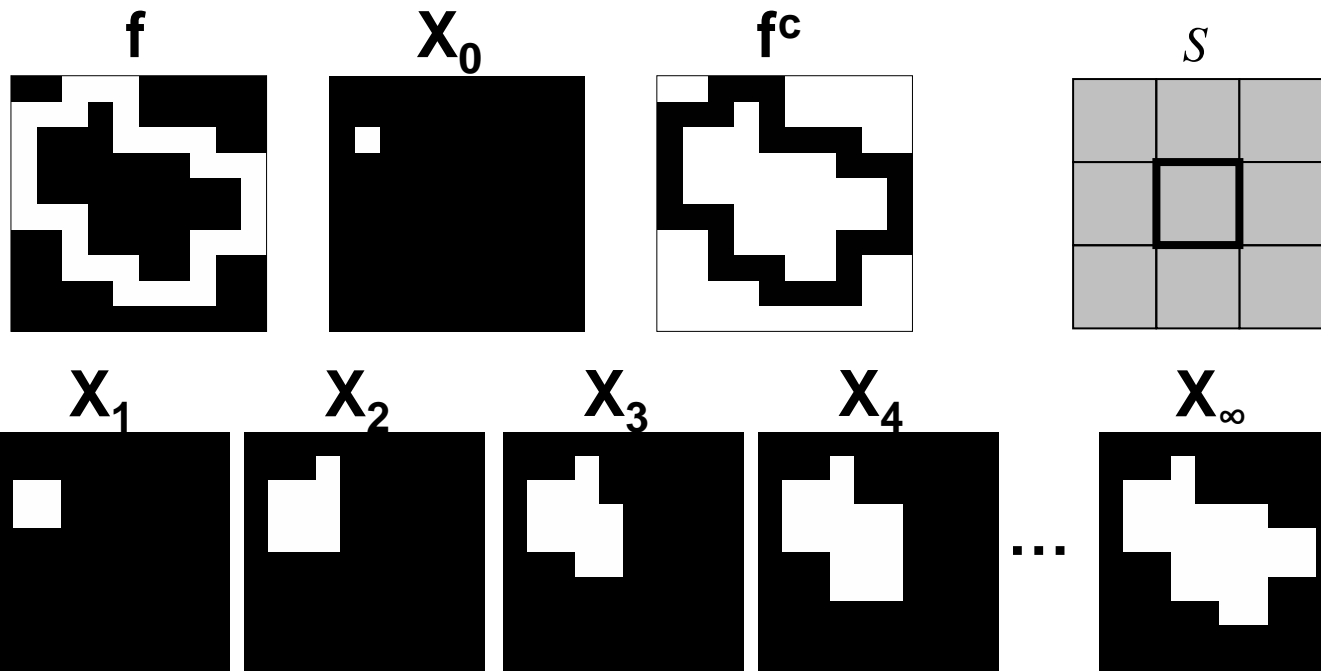
# Anvendelse av erosjon: Kantdeteksjon

- Erodering fjerner piksler langs omrisset av et objekt.
- Vi kan finne kantene av objektene i bildet ved å subtrahere et erodert bilde fra originalbildet:  $g = f - (f \ominus S)$
- Strukturelementet avgjør 4- eller 8-tilkoblet:

Et bilde	erodert med	gir	=>	differanse	
<pre> 00111101110 01111111110 01111111110 11110111111 01111111111 01111111110 01111111110 00000111000           </pre>	<pre> 010 111 010           </pre>	<pre> 00000000000 00111101100 00110111100 01100011110 00110111110 00111111110 00000111000 00000000000           </pre>	=>	<pre> 00111101110 01000010010 01001000010 10010100001 01001000001 01000000010 01111000110 00000111000           </pre>	<div style="border: 1px dashed green; padding: 5px; width: fit-content;"> <p>Sammenhengende kanter dersom man bruker 8-tilkobling</p> </div>
	<pre> 111 111 111           </pre>	<pre> 00000000000 00011000100 00100011100 00100011100 00100011100 00111111110 00000010000 00000000000           </pre>	=>	<pre> 00111101110 01100111010 01011100010 11010100011 01011100011 01000000010 01111101110 00000111000           </pre>	<div style="border: 1px dashed green; padding: 5px; width: fit-content;"> <p>Sammenhengende kanter ved bruk av 4-tilkobling</p> </div>

# Anvendelse av dilasjon: Region-fylling

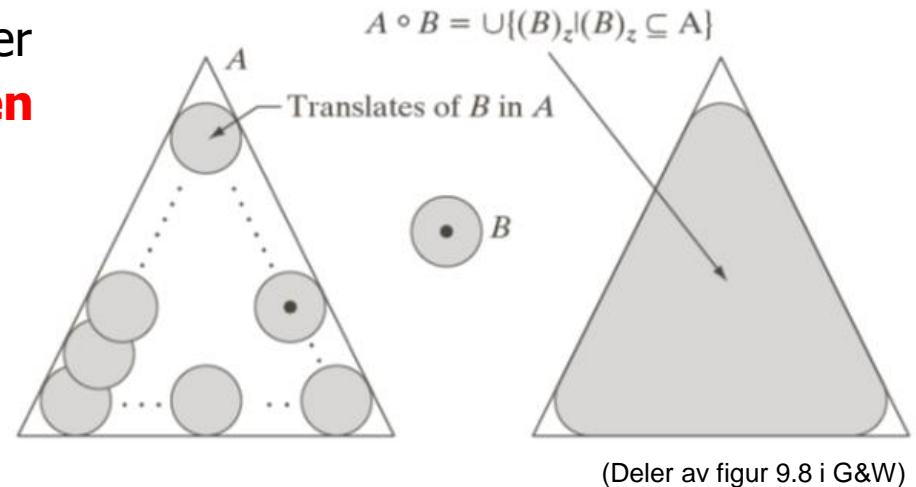
- La  $X_0$  inneholde et punkt i regionen som skal fylles.
- Deretter itererer  $X_k = (X_{k-1} \oplus S) \cap f^c$  inntil konvergens:



(Bildene er hentet fra <http://homepages.inf.ed.ac.uk/rbf/HIPR2/dilate.htm>)

# Geometrisk tolkning av åpning

- Tenk at strukturelementet definerer **størrelsen og formen til spissen av en tusjpen**.
- Det er bare tillatt å **fargelegge innenfor objekter**.
  - Et par detaljer: Man må holde tusjen vinkelrett på tegneflaten og med samme rotasjon som strukturelementet.
- **Åpningen er resultatet av å fargelegge så mye man har lov til.**
- For runde strukturelementer: Konvekse hjørner blir avrundet, konkave hjørner beholdes rette.
  - Akkurat som ved dilasjon (skyldes at enhver åpning avsluttes med en dilasjon).



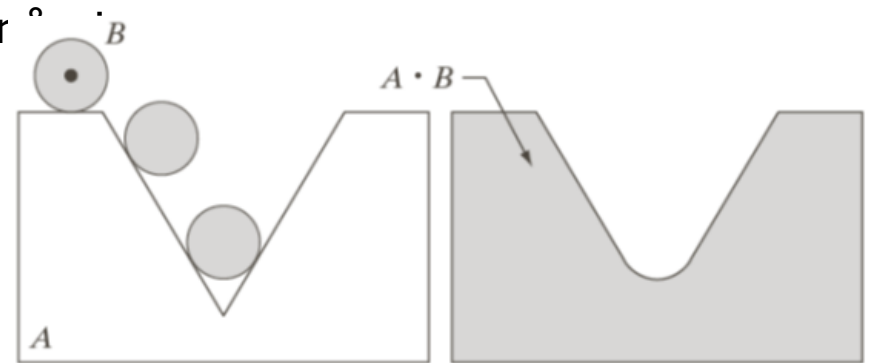
Åpning er idempotent:

$$(f \circ S) \circ S = f \circ S$$

d.v.s. at gjentatte anvendelser med samme strukturelement gir ingen endring.

# Geometrisk tolkning av lukking

- Vi kan benytte **samme metafor** som for  $\hat{\phantom{A}}$ 
  - Strukturelementet definerer størrelsen og formen til spissen av en tusjpen.
  - Man holder tusjen vinkelrett tegneflaten og fargelegger så mye man har lov til.
- **Denne gangen** er det bare tillatt å **fargelegge utenfor objekter**.
  - En detalj: Denne gangen skal tusjen holdes speilvendt ( $180^\circ$  rotert) av strukturelementet.
- **Lukkingen er det som ikke fargelegges**.
  - Denne gangen fargelegger vi altså bakgrunnen, sist fargela vi forgrunnen.
- For runde strukturelementer:  
Konkave hjørner blir avrundet, konvekse hjørner beholdes rette.
  - Akkurat som ved erosjon (skyldes at enhver lukking avsluttes med en erosjon).

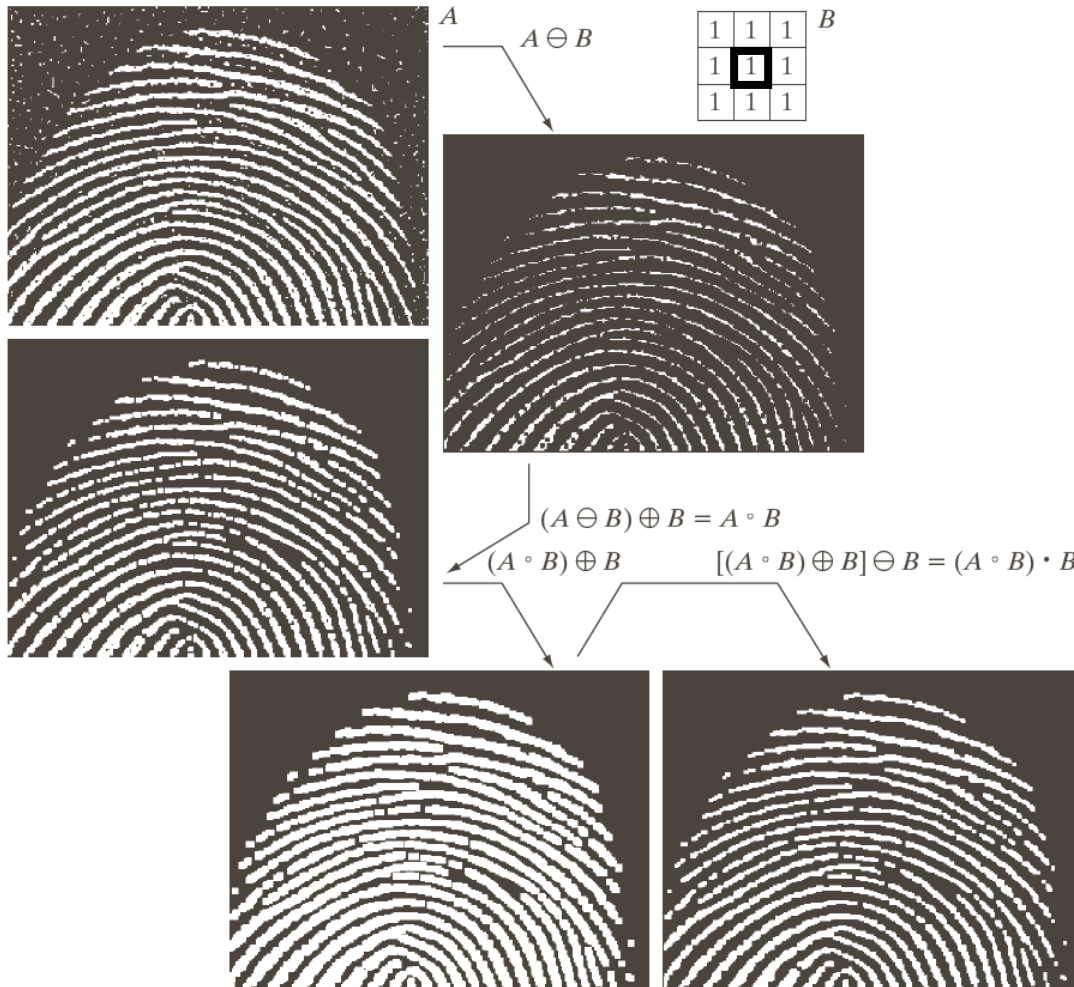


(Deler av figur 9.9 i G&W)

Også lukking er **idempotent**:

$$(f \bullet S) \bullet S = f \bullet S$$

# Eksempel: Filtrering ved åpning og lukking



**FIGURE 9.11**

(a) Noisy image.  
 (b) Structuring element.  
 (c) Eroded image.  
 (d) Opening of  $A$ .  
 (e) Dilation of the opening.  
 (f) Closing of the opening.  
 (Original image courtesy of the National Institute of Standards and Technology.)

# Morfologisk rekonstruksjon

---

- Tidligere: Bilde  $f$  og strukturelement  $S$
- Nå: Markørbilde  $F$  (startpunktene), maskebilde  $G$  og et strukturelement  $B$  som definerer tilkoblingstypen

- **Morfologisk rekonstruksjon ved dilasjon:**

$$F^k = (F^{k-1} \oplus B) \cap G$$

der  $F^0 = F$ .

- Med ord: Iterativt dilater  $F$  med  $B$ , og begrenses resultatet med  $G$ , inntil ingen endring.
- Anvendelser:
  - Region-fylling (fire slides siden).
  - Helautomatisk hullfylling.
  - Kantrydding.
  - Åpning ved rekonstruksjon.